




## ПРЕДЕЛЬНО ДОПУСТИМЫЕ ЗНАЧЕНИЯ ПАРАМЕТРОВ

Обозначение и наименование параметра		Ед. изм.	Значение	Условия измерения	
<b>Параметры в проводящем состоянии</b>					
$I_{TAV}$	Максимально допустимый средний ток в открытом состоянии	А	260	$T_c = 85\text{ }^\circ\text{C}$ ; 180 эл. град. синус; 50 Гц	
$I_{TRMS}$	Действующий ток в открытом состоянии	А	405		
$I_{TSM}$	Ударный ток в открытом состоянии	кА	5.0 6.0	$T_j = T_{j\max}$ $T_j = 25\text{ }^\circ\text{C}$	180 эл. град. синус; $t_p = 10\text{ мс}$ ; единичный импульс; $U_D = U_R = 0\text{ В}$ ; Импульс управления: $I_G = 2\text{ А}$ ; $t_{GP} = 50\text{ мкс}$ ; $di_G/dt \geq 1\text{ А/мкс}$
			5.5 6.5	$T_j = T_{j\max}$ $T_j = 25\text{ }^\circ\text{C}$	180 эл. град. синус; $t_p = 8.3\text{ мс}$ ; единичный импульс; $U_D = U_R = 0\text{ В}$ ; Импульс управления: $I_G = 2\text{ А}$ ; $t_{GP} = 50\text{ мкс}$ ; $di_G/dt \geq 1\text{ А/мкс}$
$I^2t$	Защитный показатель	$A^2c \cdot 10^3$	120 180	$T_j = T_{j\max}$ $T_j = 25\text{ }^\circ\text{C}$	180 эл. град. синус; $t_p = 10\text{ мс}$ ; единичный импульс; $U_D = U_R = 0\text{ В}$ ; Импульс управления: $I_G = 2\text{ А}$ ; $t_{GP} = 50\text{ мкс}$ ; $di_G/dt \geq 1\text{ А/мкс}$
			120 170	$T_j = T_{j\max}$ $T_j = 25\text{ }^\circ\text{C}$	180 эл. град. синус; $t_p = 8.3\text{ мс}$ ; единичный импульс; $U_D = U_R = 0\text{ В}$ ; Импульс управления: $I_G = 2\text{ А}$ ; $t_{GP} = 50\text{ мкс}$ ; $di_G/dt \geq 1\text{ А/мкс}$
<b>Блокирующие параметры</b>					
$U_{DRM}, U_{RRM}$	Повторяющееся импульсное обратное напряжение и повторяющееся импульсное напряжение в закрытом состоянии	В	3800...4400	$T_{j\min} < T_j < T_{j\max}$ ; 180 эл. град. синус; 50 Гц; управление разомкнуто	
$U_{DSM}, U_{RSM}$	Неповторяющееся импульсное обратное напряжение и неповторяющееся импульсное напряжение в закрытом состоянии	В	3900...4500	$T_{j\min} < T_j < T_{j\max}$ ; 180 эл. град. синус; единичный импульс; управление разомкнуто	
$U_D, U_R$	Постоянное обратное и постоянное прямое напряжение	В	$0.6 \cdot U_{DRM}$ $0.6 \cdot U_{RRM}$	$T_j = T_{j\max}$ ; управление разомкнуто	
<b>Параметры управления</b>					
$I_{FGM}$	Максимальный прямой ток управления	А	8	$T_j = T_{j\max}$	
$U_{RGM}$	Максимальное обратное напряжение управления	В	5		
$P_G$	Максимальная рассеиваемая мощность по управлению	Вт	4	$T_j = T_{j\max}$ для постоянного тока управления	
<b>Параметры переключения</b>					
$(di_T/dt)_{crit}$	Критическая скорость нарастания тока в открытом состоянии ( $f = 1\text{ Hz}$ )	А/мкс	400	$T_j = T_{j\max}$ ; $U_D = 0.67 \cdot U_{DRM}$ ; $I_{TM} = 2 I_{TAV}$ ; Импульс управления: $I_G = 2\text{ А}$ ; $t_{GP} = 50\text{ мкс}$ ; $di_G/dt \geq 2\text{ А/мкс}$	
<b>Тепловые параметры</b>					
$T_{stg}$	Температура хранения	$^\circ\text{C}$	-40...+50		
$T_j$	Температура р-п перехода	$^\circ\text{C}$	-40...+125		
$T_{c\text{ op}}$	Рабочая температура корпуса	$^\circ\text{C}$	-40...+125		
<b>Механические параметры</b>					
$a$	Ускорение	м/с <sup>2</sup>	50		

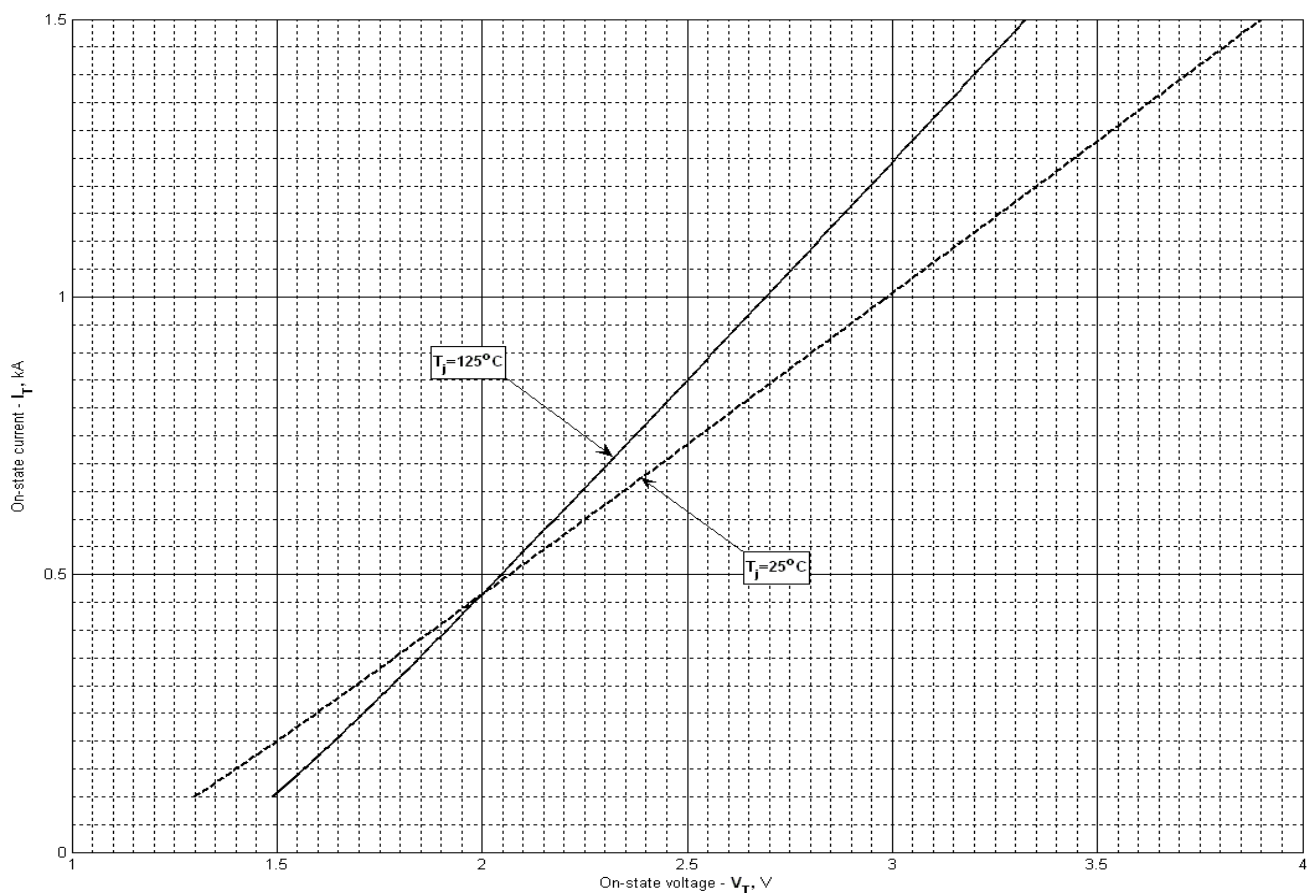
## ХАРАКТЕРИСТИКИ

Обозначение и наименование характеристики		Ед. изм.	Значение	Условия измерения	
<b>Характеристики в проводящем состоянии</b>					
$U_{TM}$	Импульсное напряжение в открытом состоянии, макс	В	2.30	$T_j=25\text{ °C}; I_{TM}=628\text{ A}$	
$U_{T(TO)}$	Пороговое напряжение, макс	В	1.40	$T_j=T_{j\max};$ $0.5\pi I_{TAV} < I_T < 1.5\pi I_{TAV}$	
$r_T$	Динамическое сопротивление в открытом состоянии, макс	МОм	1.300		
$I_L$	Ток включения, макс	мА	1000	$T_j=25\text{ °C}; U_D=12\text{ В};$ Импульс управления: $I_G=2\text{ A};$ $t_{GP}=50\text{ мкс}; di_G/dt \geq 1\text{ А/мкс}$	
$I_H$	Ток удержания, макс	мА	300	$T_j=25\text{ °C};$ $U_D=12\text{ В};$ управление разомкнуто	
<b>Блокирующие характеристики</b>					
$I_{DRM}, I_{RRM}$	Повторяющийся импульсный обратный ток и повторяющийся импульсный ток в закрытом состоянии, макс	мА	200 3.00	$T_j=T_{j\max}$ $T_j=25\text{ °C}$	$U_D=U_{DRM}; U_R=U_{RRM}$
$(du_D/dt)_{crit}$	Критическая скорость нарастания напряжения в закрытом состоянии <sup>1)</sup> , мин	В/мкс	1000	$T_j=T_{j\max};$ $U_D=0.67 \cdot U_{DRM};$ управление разомкнуто	
<b>Характеристики управления</b>					
$U_{GT}$	Отпирающее постоянное напряжение управления, макс	В	4.00 2.50 2.00	$T_j=T_{j\min}$ $T_j=25\text{ °C}$ $T_j=T_{j\max}$	$U_D=12\text{ В}; I_D=3\text{ A};$ Постоянный ток управления
$I_{GT}$	Отпирающий постоянный ток управления, макс	мА	400 250 200	$T_j=T_{j\min}$ $T_j=25\text{ °C}$ $T_j=T_{j\max}$	
$U_{GD}$	Неотпирающее постоянное напряжение управления, мин	В	0.35	$T_j=T_{j\max};$ $U_D=0.67 \cdot U_{DRM};$ Постоянный ток управления	
$I_{GD}$	Неотпирающий постоянный ток управления, мин	мА	15.00		
<b>Динамические характеристики</b>					
$t_{gd}$	Время задержки, макс	мкс	3.50	$T_j=25\text{ °C}; U_D=1500\text{ В}; I_{TM}=I_{TAV};$ $di/dt=200\text{ А/мкс};$ Импульс управления: $I_G=2\text{ A}; U_G=20\text{ В};$ $t_{GP}=50\text{ мкс}; di_G/dt=2\text{ А/мкс}$	
$t_q$	Время выключения <sup>2)</sup> , макс	мкс	500	$du_D/dt=50\text{ В/мкс}; T_j=T_{j\max}; I_{TM}=I_{TAV};$ $di_R/dt=-10\text{ А/мкс}; U_R=100\text{ В};$ $U_D=0.67 \cdot U_{DRM};$	
$Q_{rr}$	Заряд обратного восстановления, макс	мкКл	1850	$T_j=T_{j\max}; I_{TM}=400\text{ A};$ $di_R/dt=-5\text{ А/мкс};$ $U_R=100\text{ В}$	
$t_{rr}$	Время обратного восстановления, макс	мкс	41		
$I_{rr}$	Обратный ток восстановления, макс	А	90		
<b>Тепловые характеристики</b>					
$R_{thjc}$	Тепловое сопротивление р-п переход-корпус, макс			180 эл. град. синус; 50 Гц	
	на модуль	°С/Вт	0.0340		
	на позицию	°С/Вт	0.0680		
	на позицию	°С/Вт	0.0650		
$R_{thch}$	Тепловое сопротивление корпус-охладитель, макс			Постоянный ток	
	на модуль	°С/Вт	0.0100		
	на позицию	°С/Вт	0.0200		

Характеристики изоляции					
U <sub>ISOL</sub>	Электрическая прочность изоляции	кВ	3.00	синус; 50 Гц; действующее значение	t=60 с
			3.60		t=1 с
Механические характеристики					
M <sub>1</sub>	Момент затяжки основания (M6) <sup>3)</sup>	Нм	6.00	Допуск ± 15%	
M <sub>2</sub>	Момент затяжки выводов (M10) <sup>3)</sup>	Нм	12.00	Допуск ± 15%	
m	Масса, макс	г	1500		

МАРКИРОВКА	ПРИМЕЧАНИЕ																																		
<table border="1"> <tr> <td>MT</td><td>3</td><td>-</td><td>260</td><td>-</td><td>44</td><td>-</td><td>A2</td><td>E2</td><td>-</td><td>A2</td><td>-</td><td>Y2</td> </tr> <tr> <td>1</td><td>2</td><td></td><td>3</td><td></td><td>4</td><td></td><td>5</td><td>6</td><td></td><td>7</td><td></td><td>8</td> </tr> </table> <p>1. Тиристорный модуль (MT)          Тиристорно-диодный модуль (MT/Д)          Диодно-тиристорный модуль (МД/Т)</p> <p>2. Схема включения</p> <p>3. Средний прямой ток, А</p> <p>4. Класс по напряжению</p> <p>5. Критическая скорость нарастания напряжения в закрытом состоянии</p> <p>6. Группа по времени выключения (du<sub>D</sub>/dt=50 В/мкс)</p> <p>7. Тип корпуса (M.A2)</p> <p>8. Климатическое исполнение по ГОСТ 15150: Y2</p>	MT	3	-	260	-	44	-	A2	E2	-	A2	-	Y2	1	2		3		4		5	6		7		8	<p>1) Критическая скорость нарастания напряжения в закрытом состоянии</p> <table border="1"> <tr> <td>Обозначение группы</td> <td>A2</td> </tr> <tr> <td>(du<sub>D</sub>/dt)<sub>crit</sub>, В/мкс</td> <td>1000</td> </tr> </table> <p>2) Время выключения (du<sub>D</sub>/dt=50 В/мкс)</p> <table border="1"> <tr> <td>Обозначение группы</td> <td>E2</td> </tr> <tr> <td>t<sub>q</sub>, мкс</td> <td>500</td> </tr> </table> <p>3) Резьба должна быть смазана</p>	Обозначение группы	A2	(du <sub>D</sub> /dt) <sub>crit</sub> , В/мкс	1000	Обозначение группы	E2	t <sub>q</sub> , мкс	500
MT	3	-	260	-	44	-	A2	E2	-	A2	-	Y2																							
1	2		3		4		5	6		7		8																							
Обозначение группы	A2																																		
(du <sub>D</sub> /dt) <sub>crit</sub> , В/мкс	1000																																		
Обозначение группы	E2																																		
t <sub>q</sub> , мкс	500																																		
	Сертифицирован UL, файл № E255404																																		

Содержащаяся здесь информация является конфиденциальной и находится под защитой авторских прав. В интересах улучшения качества продукции, АО «Протон-Электротекс» оставляет за собой право изменять информационные листы без уведомления.



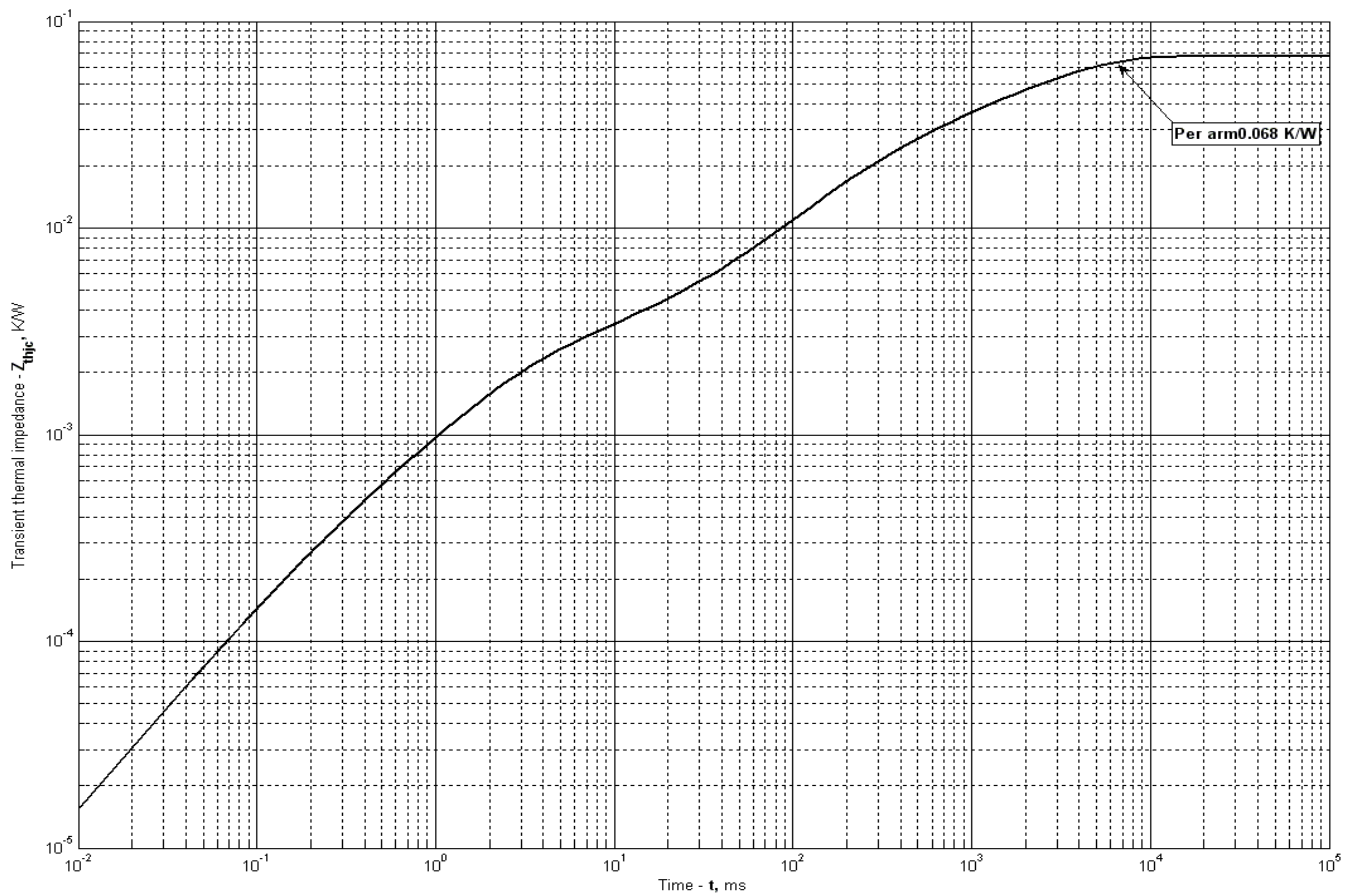
**Рис. 1 – Предельная вольт – амперная характеристика**

Аналитическая функция предельной вольт — амперной характеристики:

$$V_T = A + B \cdot i_T + C \cdot \ln(i_T + 1) + D \cdot \sqrt{i_T}$$

	Коэффициенты для графика	
	$T_j = 25^\circ\text{C}$	$T_j = T_{j \max}$
<b>A</b>	1.046892	1.269338
<b>B</b>	1.774285	1.200656
<b>C</b>	-0.178926	-0.238969
<b>D</b>	0.289862	0.387132

**Модель предельной вольт – амперной характеристики (см. Рис. 1).**



**Рис. 2 – Переходное тепловое сопротивление**

Аналитическая зависимость переходного теплового сопротивления переход — корпус:

$$Z_{thjc} = \sum_{i=1}^n R_i \left( 1 - e^{-\frac{t}{\tau_i}} \right)$$

Где  $i = 1$  to  $n$ ,  $n$  – число суммирующихся элементов.

$t$  = продолжительность импульсного нагрева в секундах.

$Z_{thjc}$  = Тепловое сопротивление за время  $t$ .

$R_i, \tau_i$  = расчетные коэффициенты, приведенные в таблице.

$i$	1	2	3	4	5	6
$R_i, K/W$	0.0385	0.01253	0.0144	0.0007273	0.001871	0.0001367
$\tau_i, s$	3.124	0.8558	0.1999	0.009185	0.002295	0.000238

**Модель переходного теплового сопротивления переход - корпус (см. Рис. 2)**

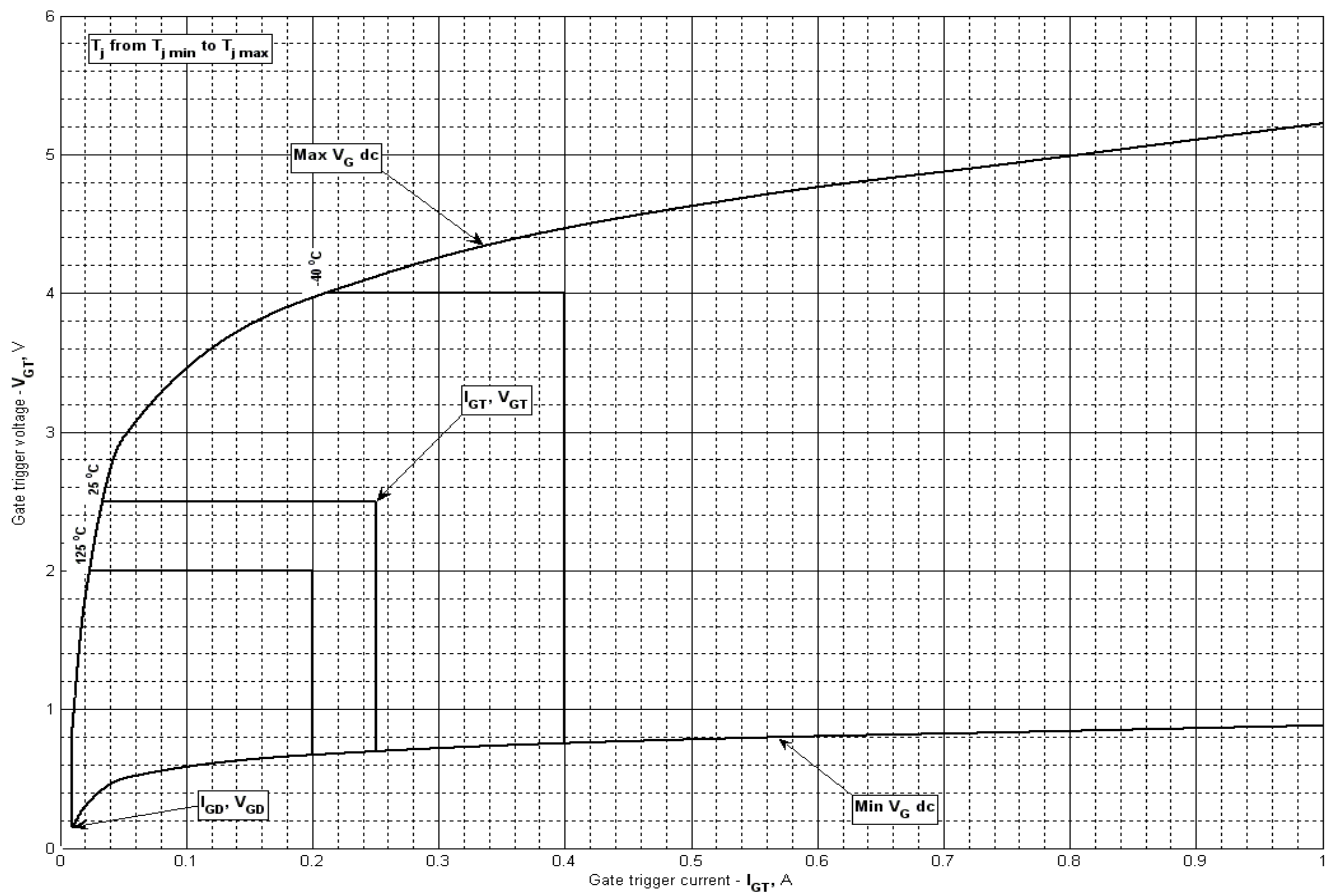


Рис. 3 – Вольт – амперная характеристика цепи управления

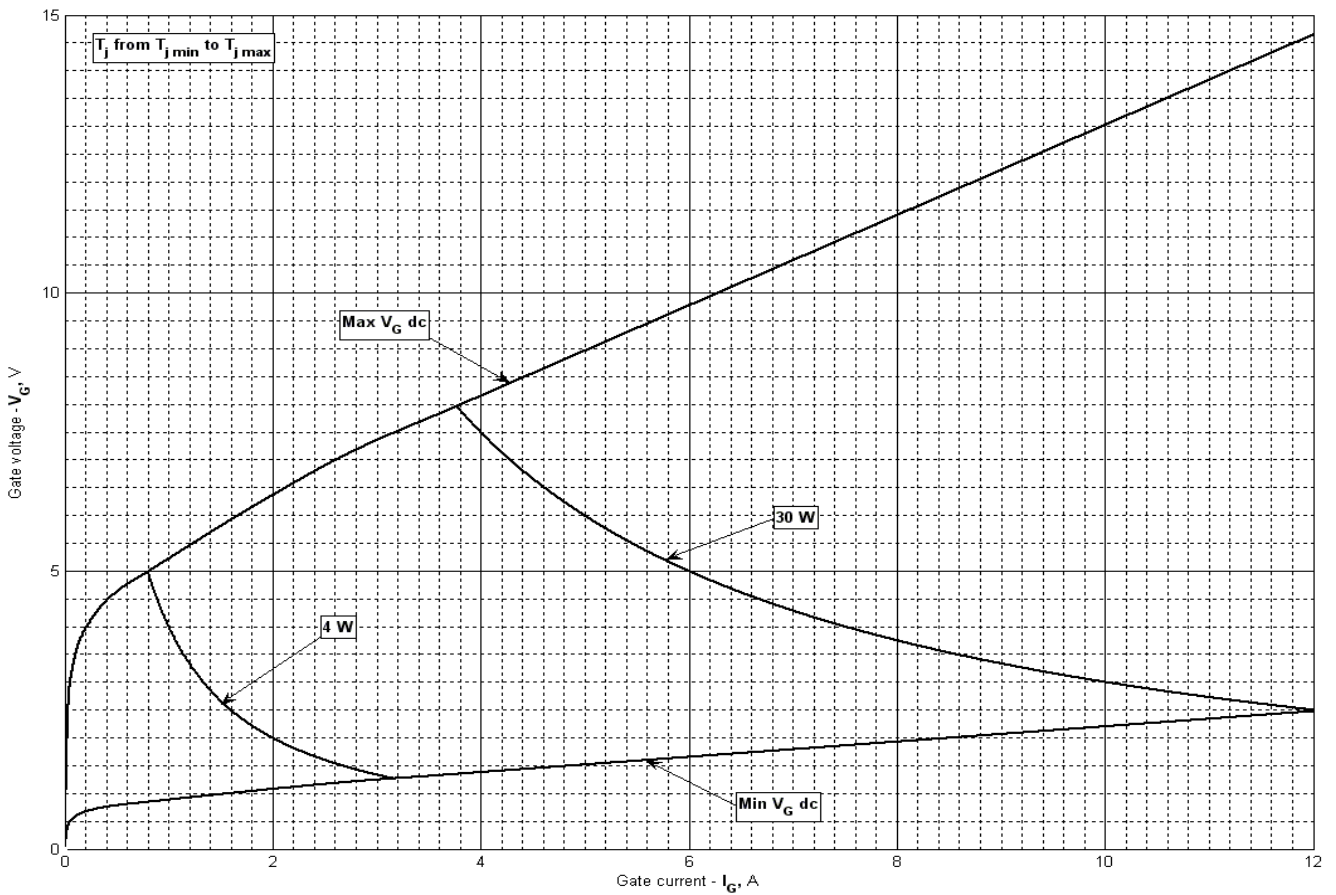


Рис. 4 – Вольт – амперная характеристика цепи управления – Кривые мощности

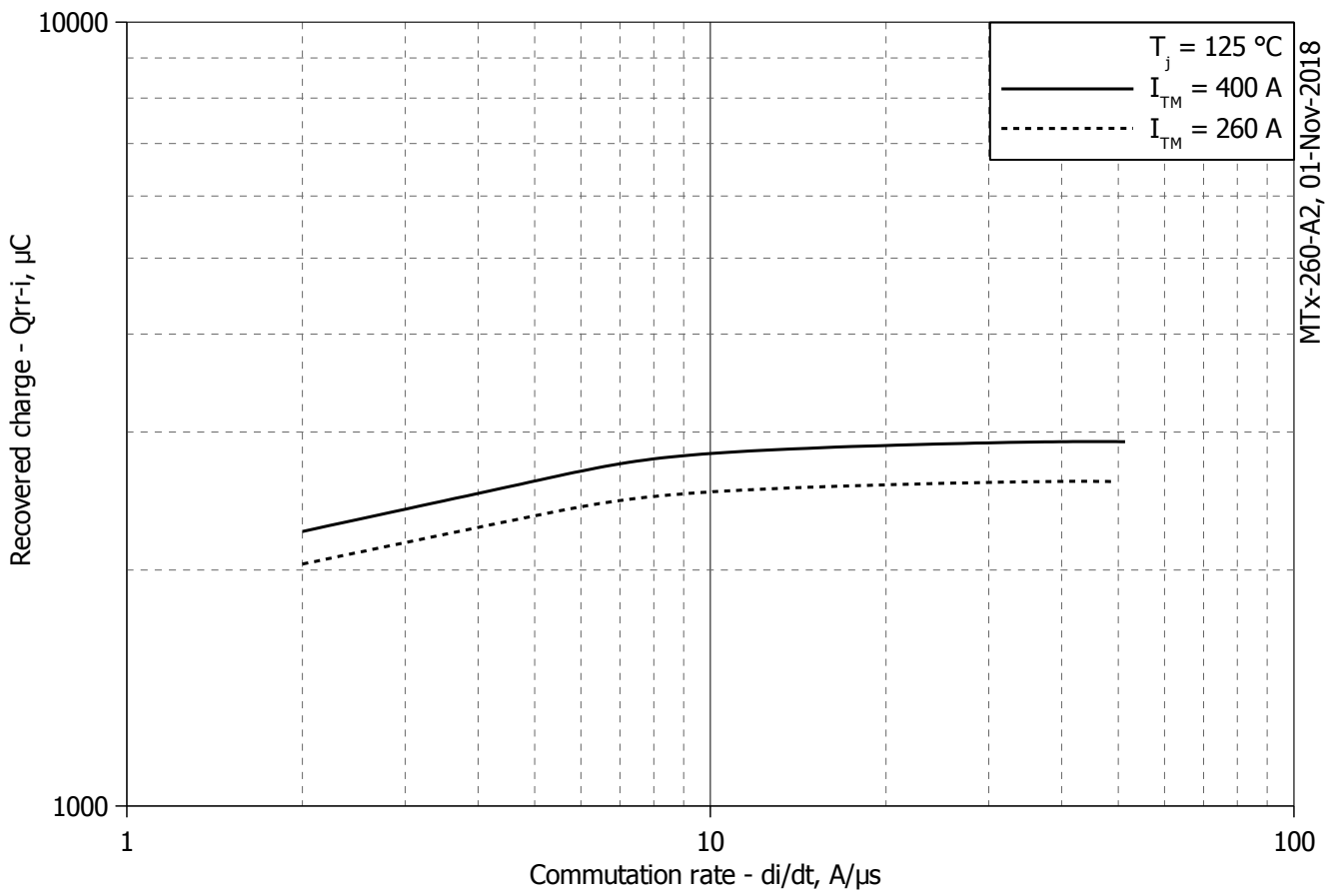


Рис. 5 – Максимальный интегральный заряд обратного восстановления,  $Q_{rr-i}$

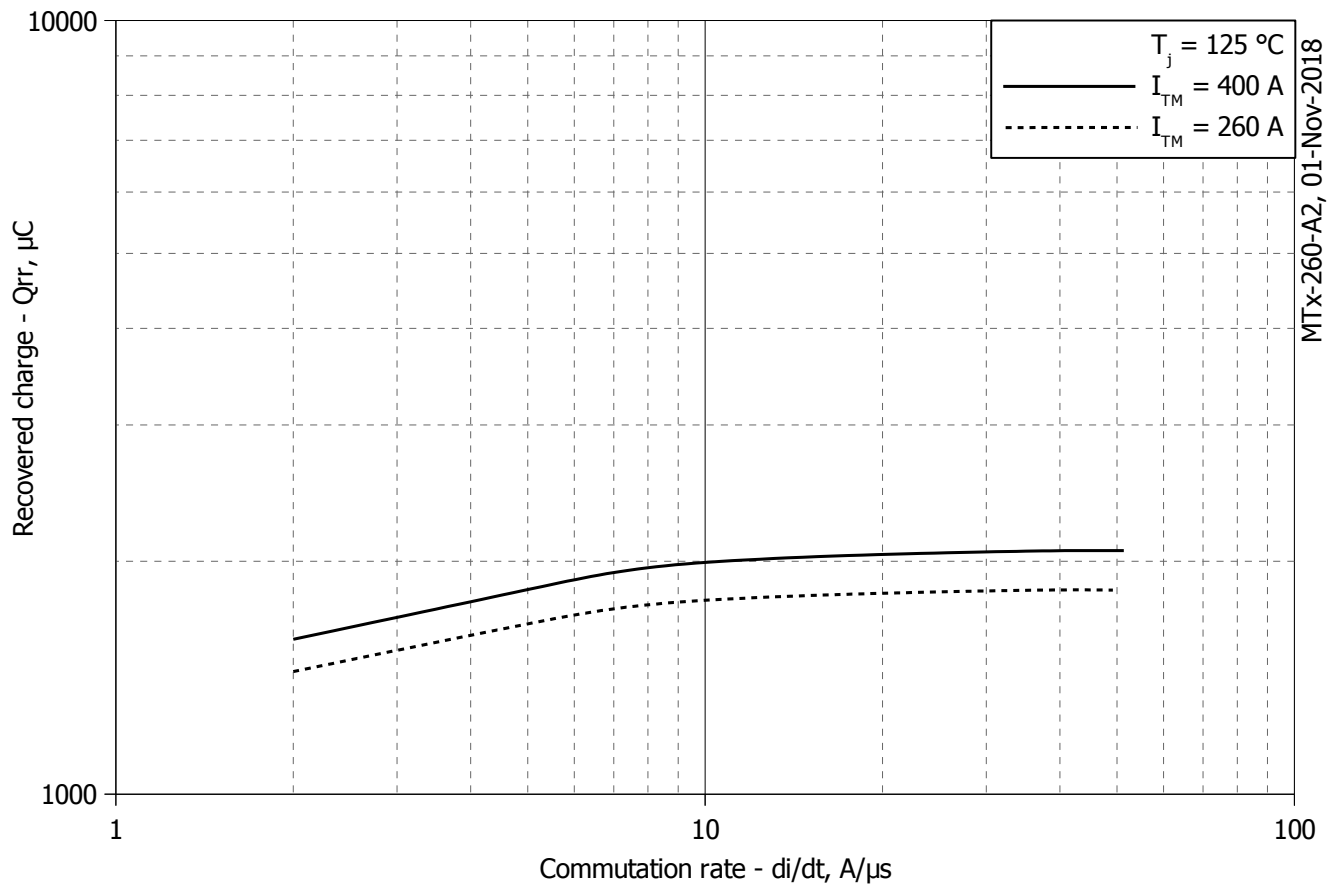
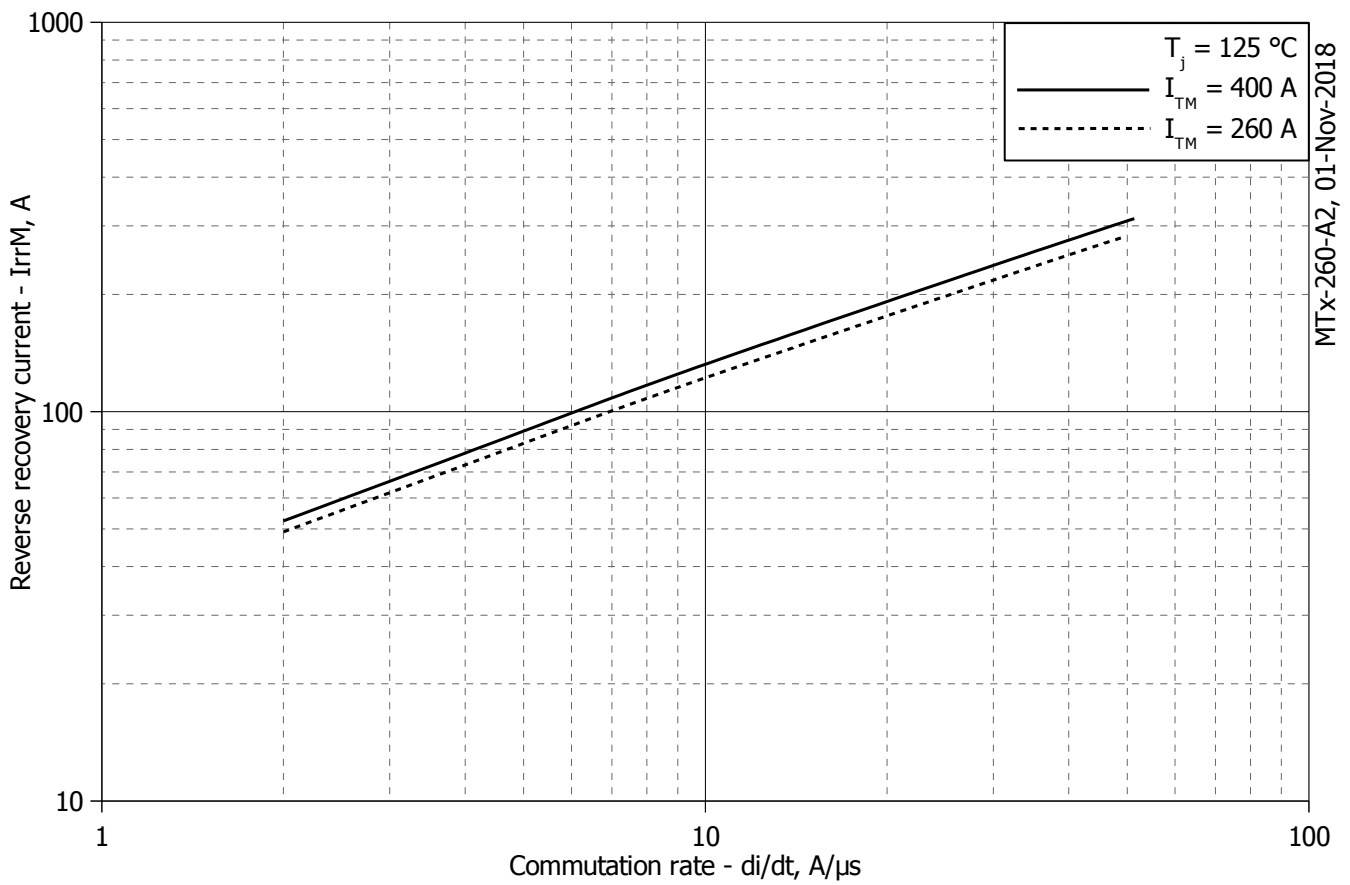
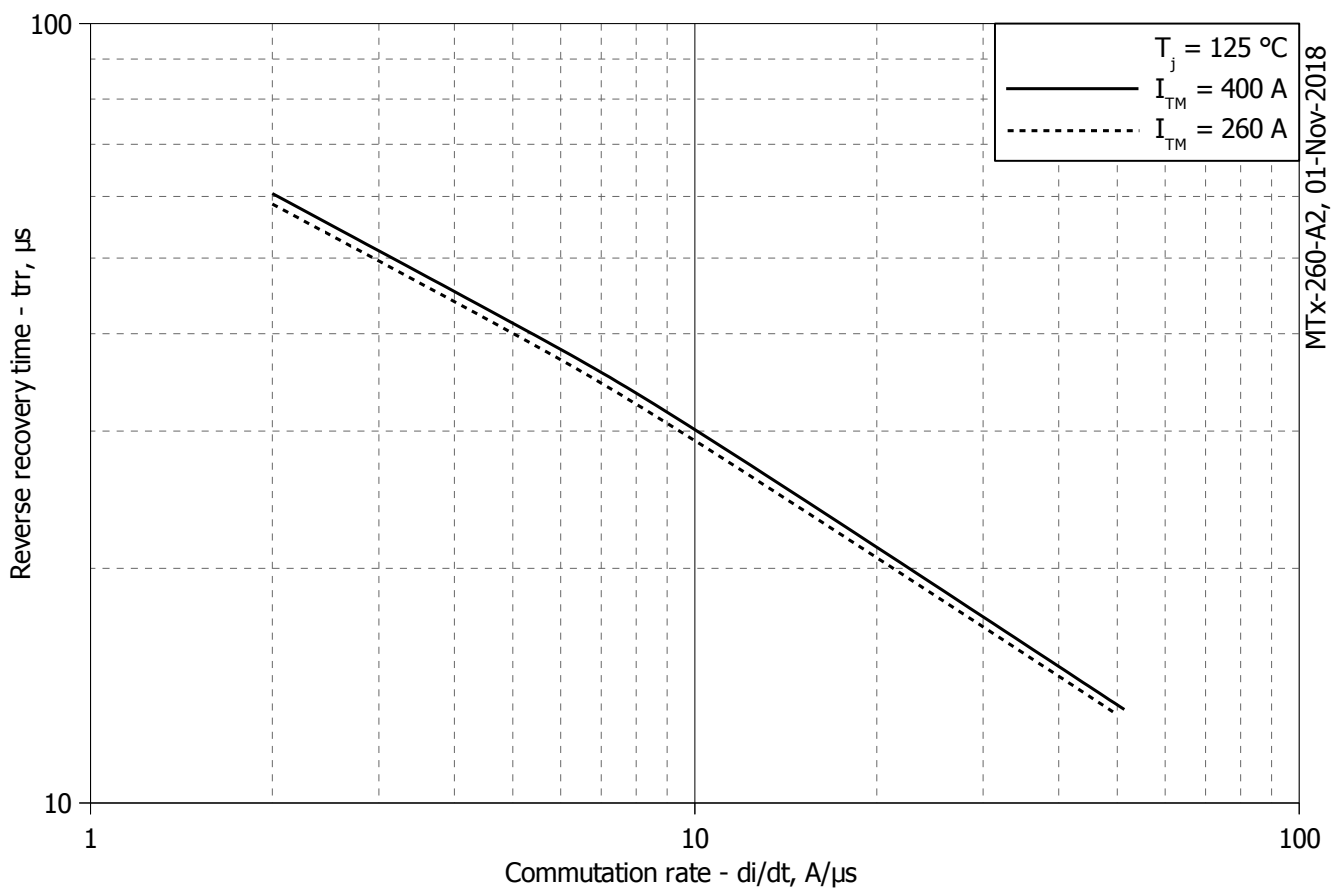


Рис. 6 – Максимальный заряд обратного восстановления,  $Q_{rr}$  (по ГОСТ 24461, хорда 25%)

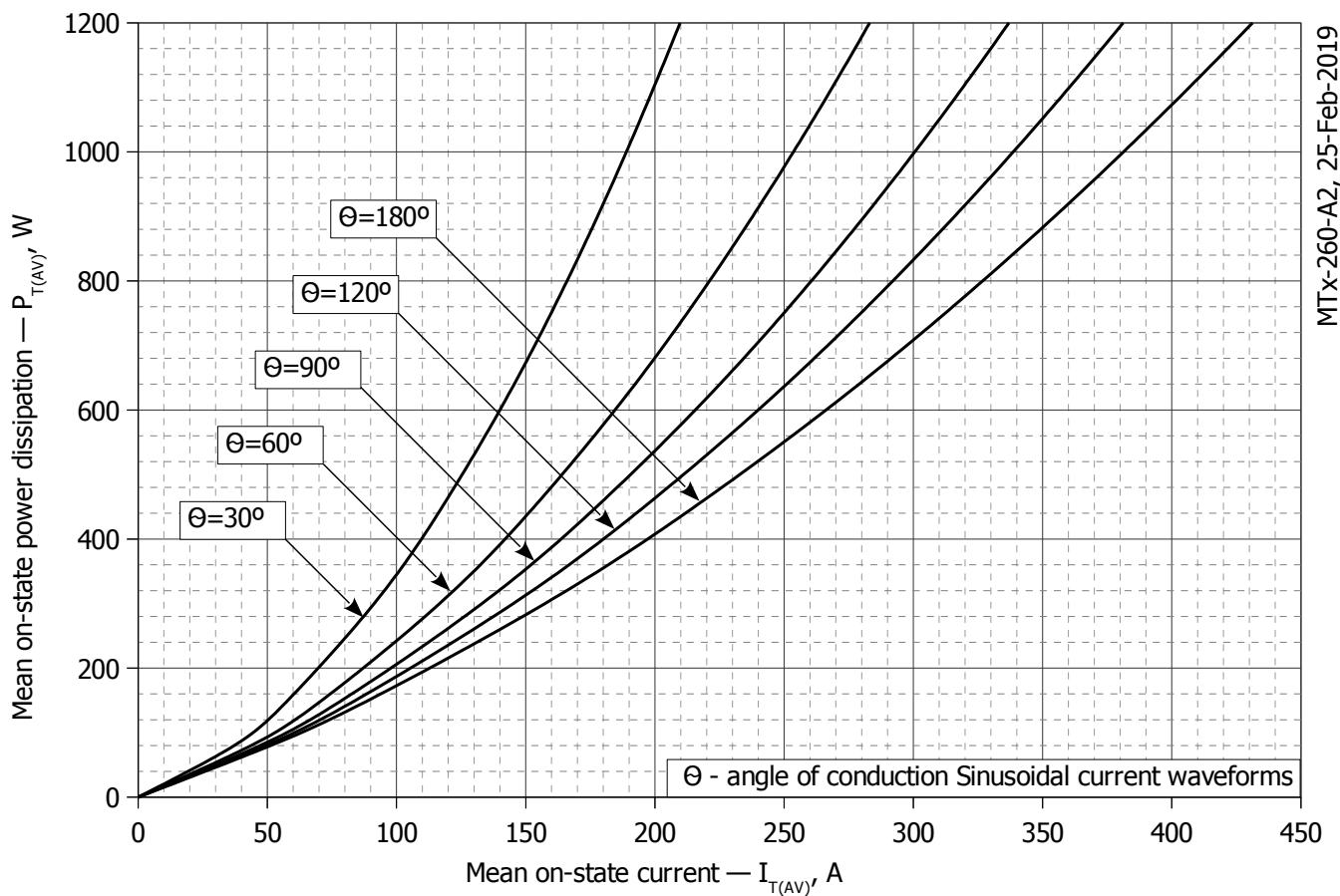




**Рис. 7 - Максимальный ток обратного восстановления,  $I_{rrM}$**

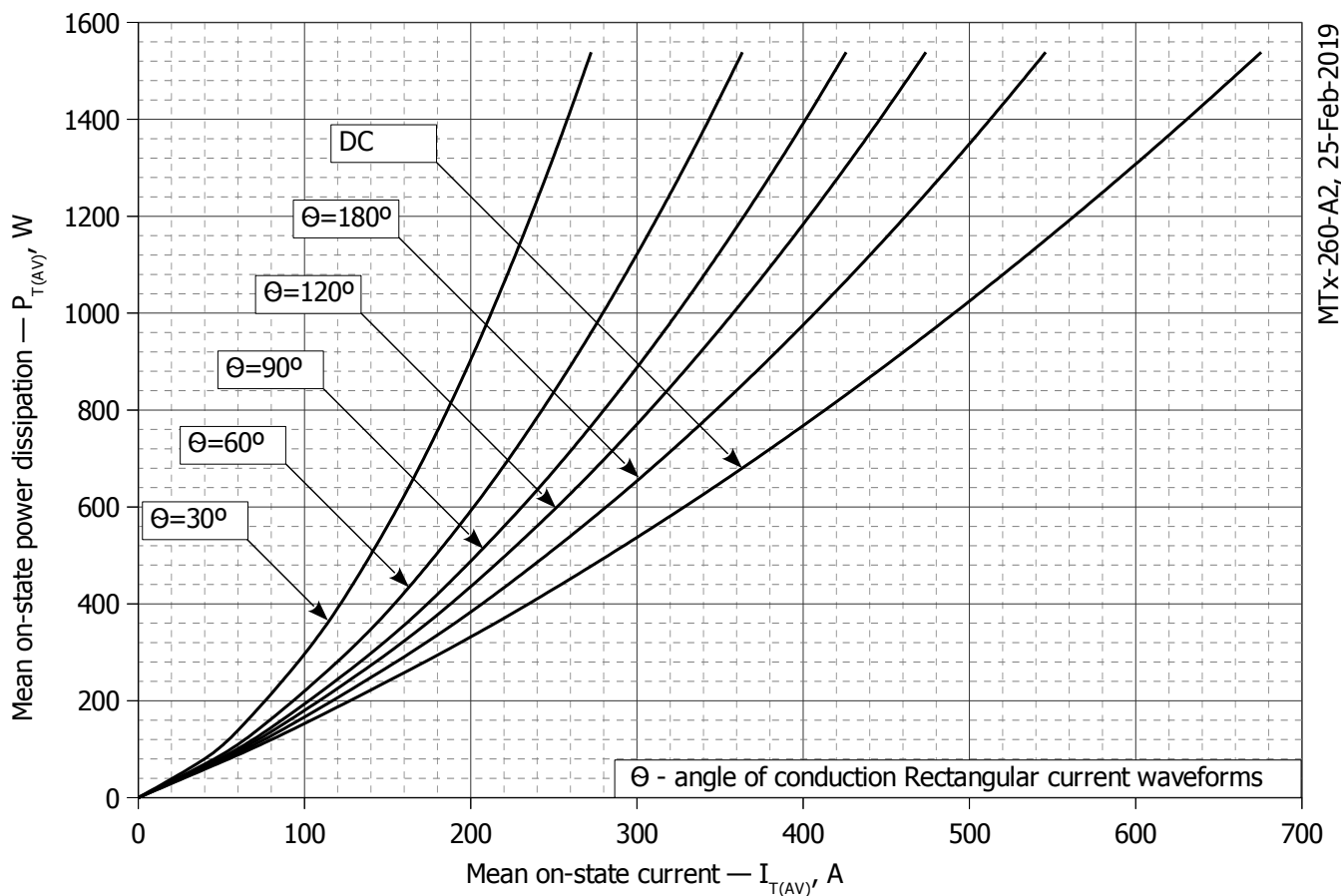


**Рис. 8 - Максимальное время обратного восстановления,  $t_{rr}$  (по ГОСТ 24461, хорда 25%)**



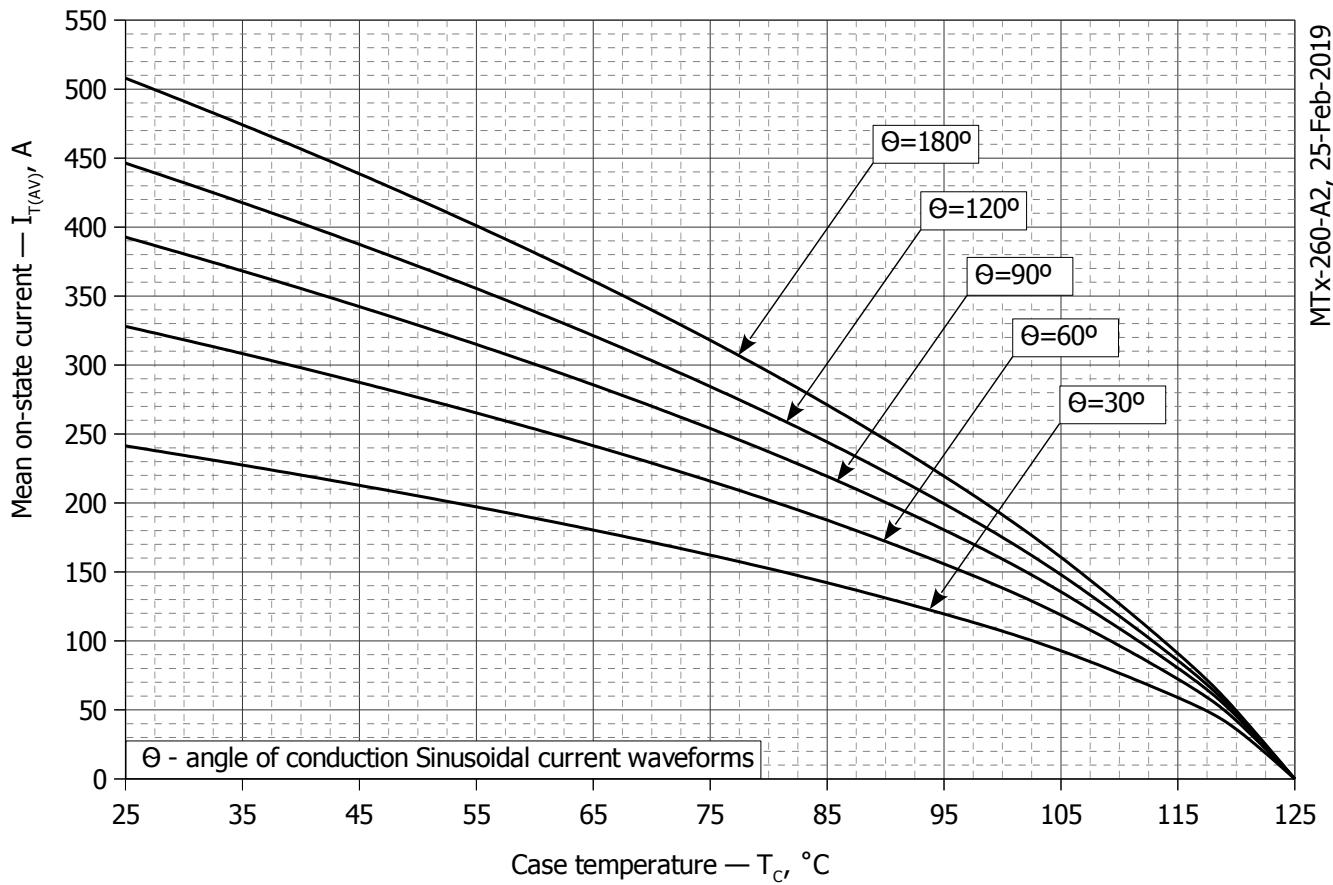
MTx-260-A2, 25-Feb-2019

**Рис. 9 - Зависимость потерь мощности  $P_{TAV}$  от среднего прямого тока  $I_{TAV}$  синусоидальной формы при различных углах проводимости ( $f=50$  Гц, двустороннее охлаждение)**

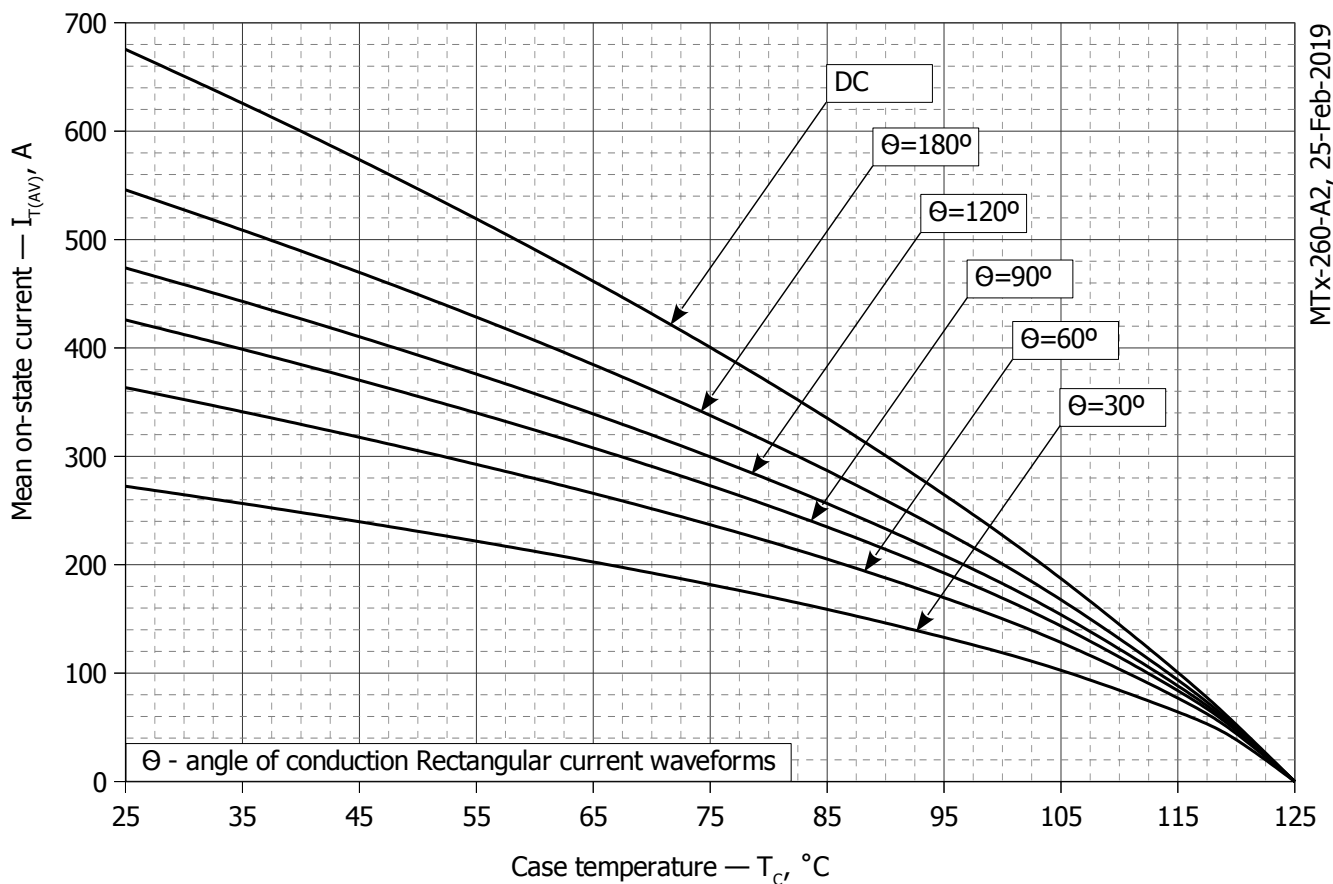


MTx-260-A2, 25-Feb-2019

**Рис. 10 – Зависимость потерь мощности  $P_{TAV}$  от среднего прямого тока  $I_{TAV}$  прямоугольной формы при различных углах проводимости ( $f=50$  Гц, двустороннее охлаждение)**



**Рис. 11 – Зависимость среднего прямого тока  $I_{TAV}$  от температуры корпуса  $T_c$  для синусоидальной формы тока при различных углах проводимости ( $f=50$  Гц, Двустороннее охлаждение)**



**Рис. 12 - Зависимость среднего прямого тока  $I_{TAV}$  от температуры корпуса  $T_c$  для прямоугольной формы тока при различных углах проводимости ( $f=50$  Гц, Двустороннее охлаждение)**

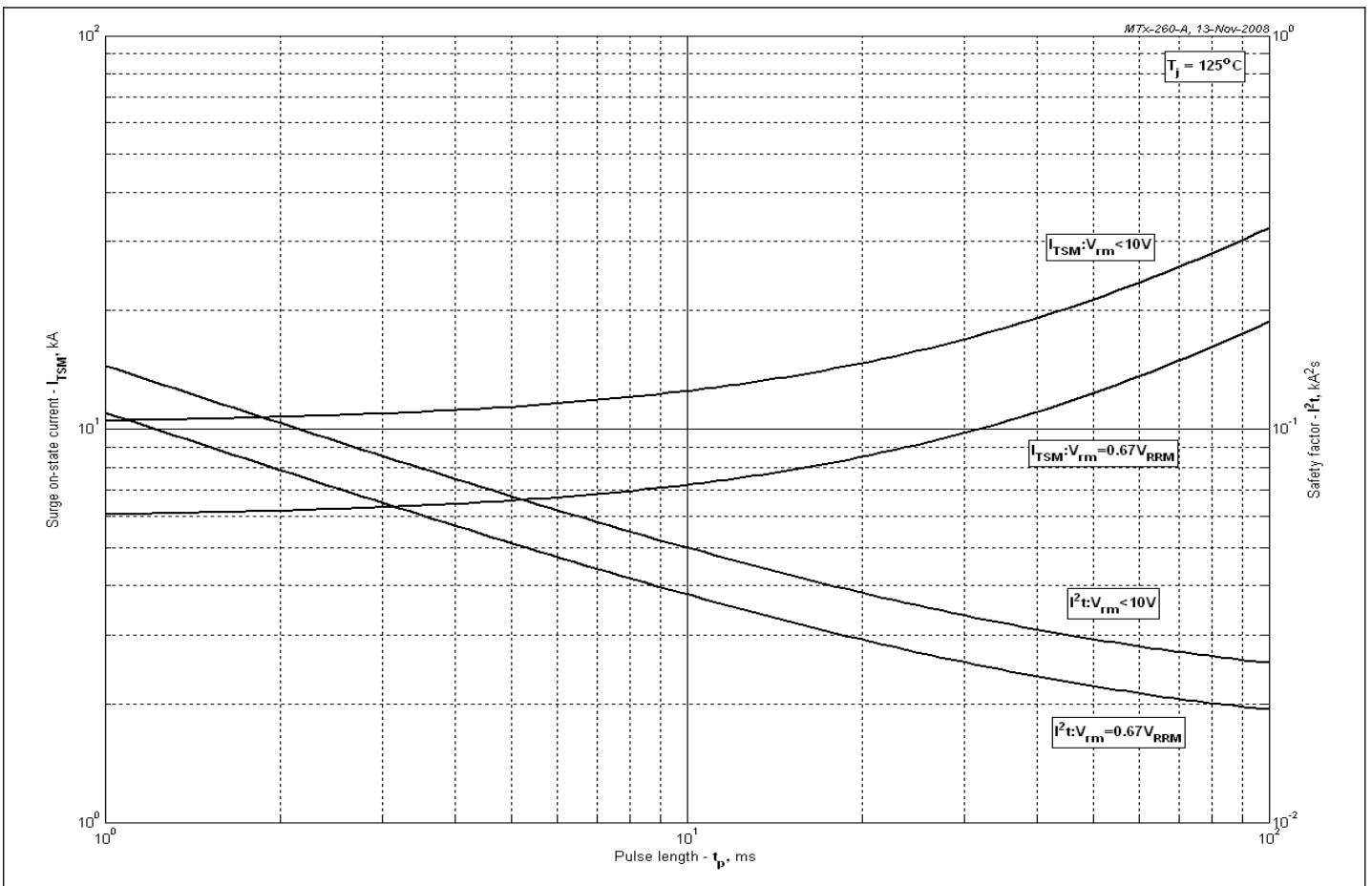


Рис. 13 – Максимальные ударные и  $I^2t$  характеристики

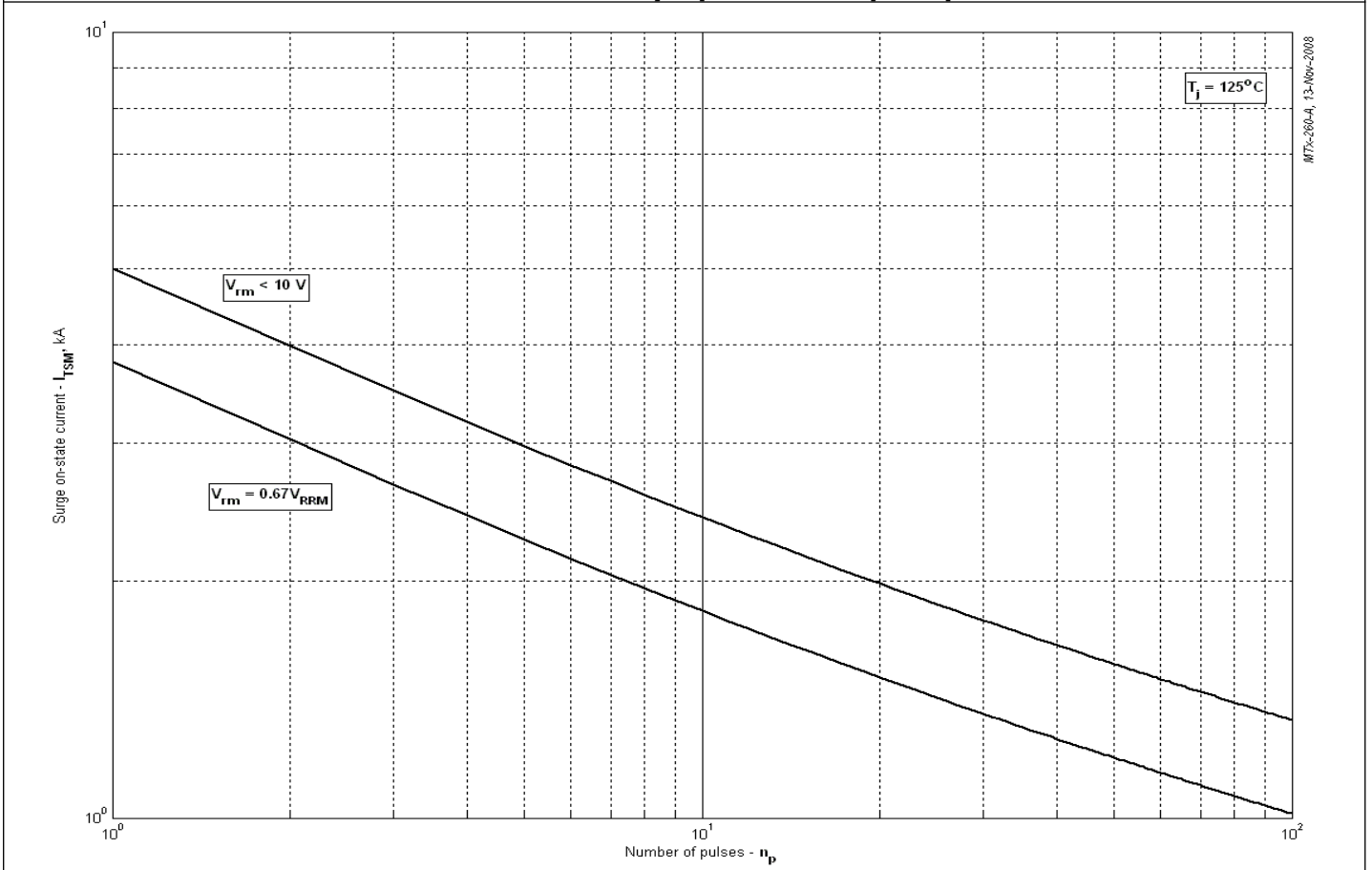


Рис. 14 - Максимальные ударные характеристики